

Hfdst 4: Bernoulli- en energievergelijking

1. Mechanische energie en efficiëntie
2. De Bernoullivergelijking
3. Toepassingen van de Bernoullivergelijking
4. De algemene energievergelijking
5. Energieanalyse van stationaire stromingssystemen

1. Mechanische energie en efficiëntie

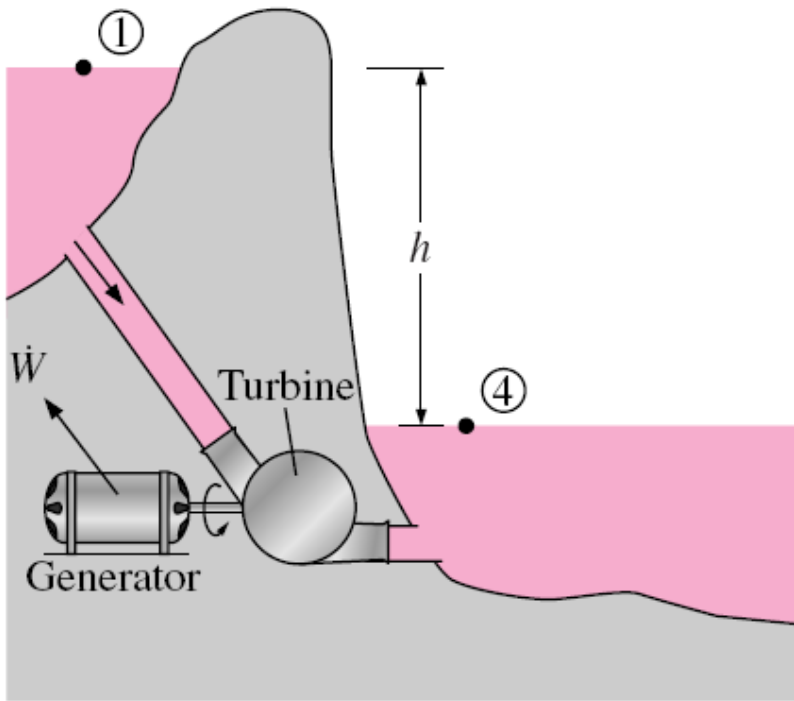
- **Mechanische energie:** *de energievorm die volledig en rechtstreeks kan omgezet worden in mechanische arbeid door een ideaal mechanisch toestel zoals een ideale turbine*

$$e_{\text{mech}} = \frac{P}{\rho} + \frac{V^2}{2} + gz$$

Stromingsenergie + kinetische energie + potentiële energie

$$\Delta e_{\text{mech}} = \frac{P_2 - P_1}{\rho} + \frac{V_2^2 - V_1^2}{2} + g(z_2 - z_1) \quad (\text{kJ/kg})$$

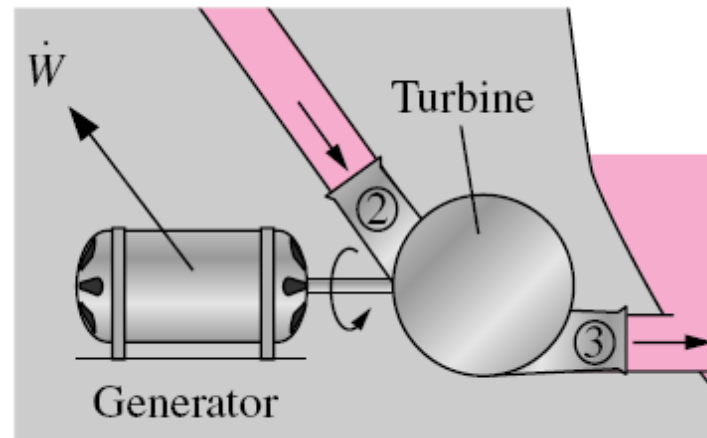
- In de afwezigheid van verliezen, stelt Δe_{mech} de arbeid voor die aan het fluïdum **geleverd** wordt ($\Delta e_{\text{mech}} > 0$) of **geëxtraheerd** wordt ($\Delta e_{\text{mech}} < 0$)



$$\dot{W}_{\max} = \dot{m} \Delta e_{\text{mech}} = \dot{m} g (z_1 - z_4) = \dot{m} g h$$

since $P_1 \approx P_4 = P_{\text{atm}}$ and $V_1 = V_4 \approx 0$

(a)

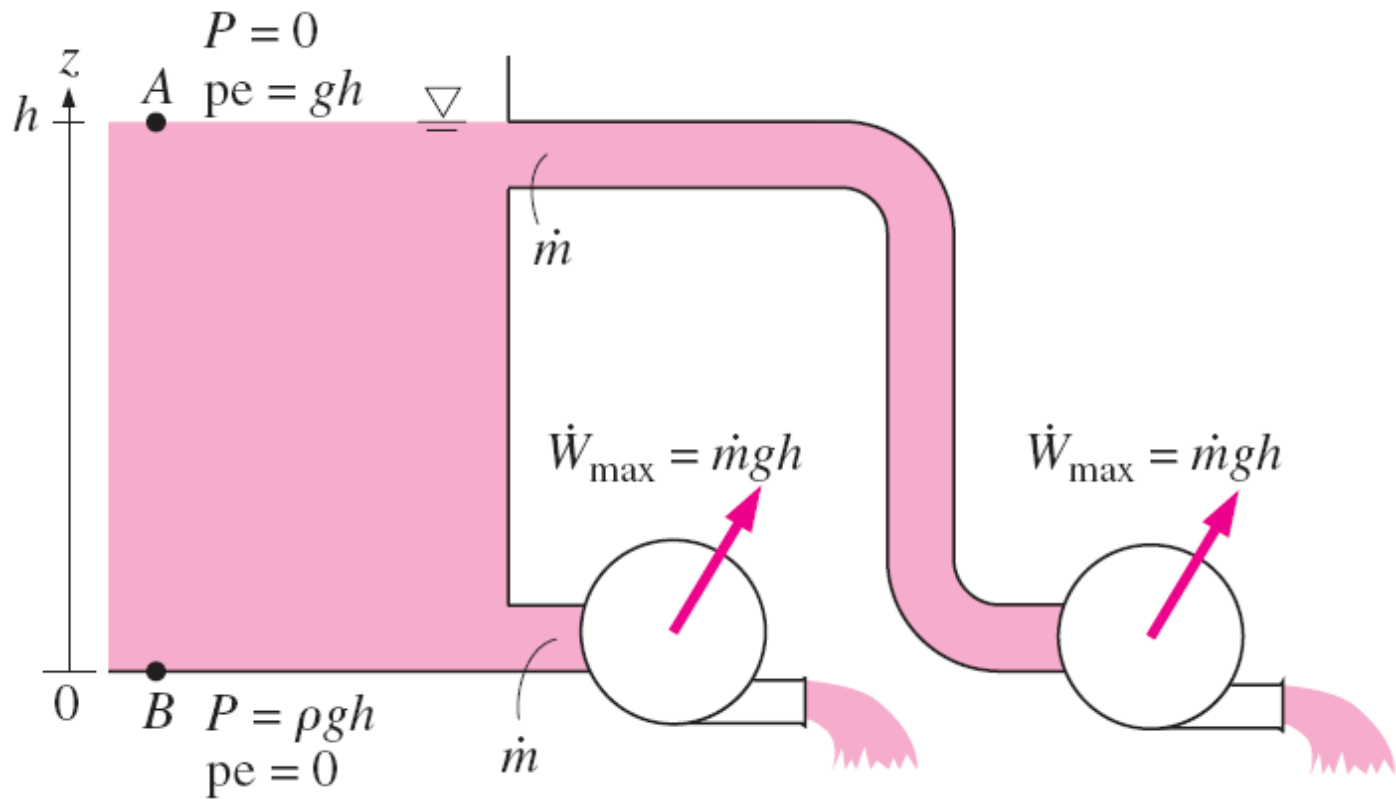


$$\dot{W}_{\max} = \dot{m} \Delta e_{\text{mech}} = \dot{m} \frac{(P_2 - P_3)}{\rho} = \dot{m} \frac{\Delta P}{\rho}$$

since $V_2 \approx V_3$ and $z_2 \approx z_3$

(b)

Het **maximale geproduceerde vermogen** is evenredig met (a) de hoogteverandering tussen de waterniveaus van de 2 reservoirs of (b) de drukverlaging tussen in- en uitlaat van de turbine



De mechanische energie van water op de bodem v/e container = de mechanische energie op elke diepte met inbegrip van de vrije oppervlakte

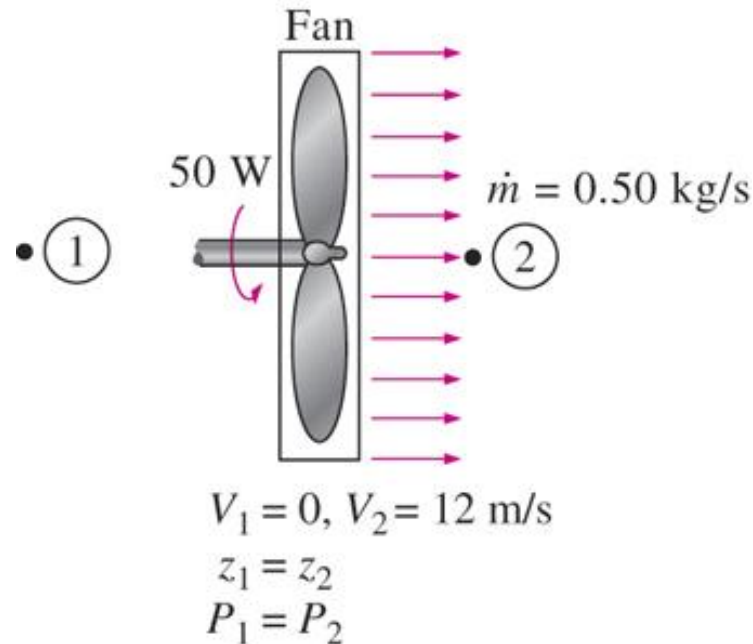
- Overdracht van mechanische energie via roterende drijfas: asarbeid
- Mechanische efficiëntie

$$\eta_{\text{mech}} = \frac{E_{\text{mech,out}}}{E_{\text{mech,in}}} = 1 - \frac{E_{\text{mech,loss}}}{E_{\text{mech,in}}}$$

- Pompefficiëntie

$$\eta_{\text{pump}} = \frac{\text{Mechanical energy increase of the fluid}}{\text{Mechanical energy input}} = \frac{\Delta \dot{E}_{\text{mech,fluid}}}{\dot{W}_{\text{shaft,in}}} = \frac{\dot{W}_{\text{pump,u}}}{\dot{W}_{\text{pump}}}$$

De mechanische efficiëntie van een ventilator is gelijk aan de verhouding van de kinetische energie aan de inlaat en de mechanische vermogensinput



$$\begin{aligned}\eta_{\text{mech, fan}} &= \frac{\Delta \dot{E}_{\text{mech, fluid}}}{\dot{W}_{\text{shaft, in}}} = \frac{\dot{m} V_2^2 / 2}{\dot{W}_{\text{shaft, in}}} \\ &= \frac{(0.50 \text{ kg/s})(12 \text{ m/s})^2 / 2}{50 \text{ W}} \\ &= 0.72\end{aligned}$$

- **Turbine-efficiëntie**

$$\eta_{\text{turbine}} = \frac{\text{Mechanical energy output}}{\text{Mechanical energy decrease of the fluid}} = \frac{\dot{W}_{\text{shaft, out}}}{|\dot{\Delta E}_{\text{mech, fluid}}|} = \frac{\dot{W}_{\text{turbine}}}{\dot{W}_{\text{turbine, e}}}$$

- **Motorefficiëntie**

$$\eta_{\text{motor}} = \frac{\text{Mechanical power output}}{\text{Electric power input}} = \frac{\dot{W}_{\text{shaft, out}}}{\dot{W}_{\text{elect, in}}}$$

- **Generatorefficiëntie**

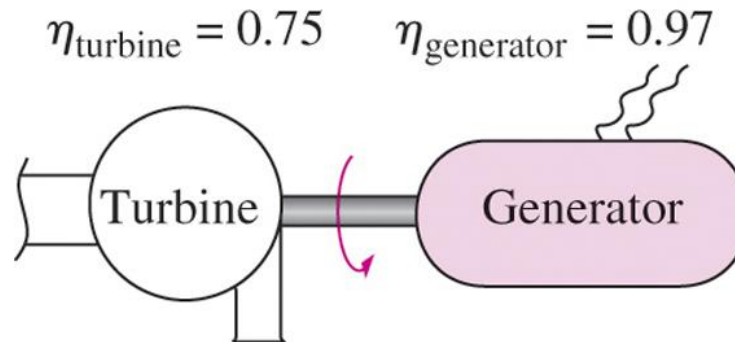
$$\eta_{\text{generator}} = \frac{\text{Electric power output}}{\text{Mechanical power input}} = \frac{\dot{W}_{\text{elect, out}}}{\dot{W}_{\text{shaft, in}}}$$

- **Pomp-motor efficiëntie**

$$\eta_{\text{pump-motor}} = \eta_{\text{pump}}\eta_{\text{motor}} = \frac{\dot{W}_{\text{pump},u}}{\dot{W}_{\text{elect,in}}} = \frac{\Delta\dot{E}_{\text{mech,fluid}}}{\dot{W}_{\text{elect,in}}}$$

- **Turbine-generator efficiëntie (Ex. 12-1)**

$$\eta_{\text{turbine-gen}} = \eta_{\text{turbine}}\eta_{\text{generator}} = \frac{\dot{W}_{\text{elect,out}}}{\dot{W}_{\text{turbine},e}} = \frac{\dot{W}_{\text{elect,out}}}{|\Delta\dot{E}_{\text{mech,fluid}}|}$$



$$\begin{aligned}\eta_{\text{turbine-gen}} &= \eta_{\text{turbine}}\eta_{\text{generator}} \\ &= 0.75 \times 0.97 \\ &= 0.73\end{aligned}$$

Voor systemen met enkel mechanische energievormen en overdracht als asarbeid:

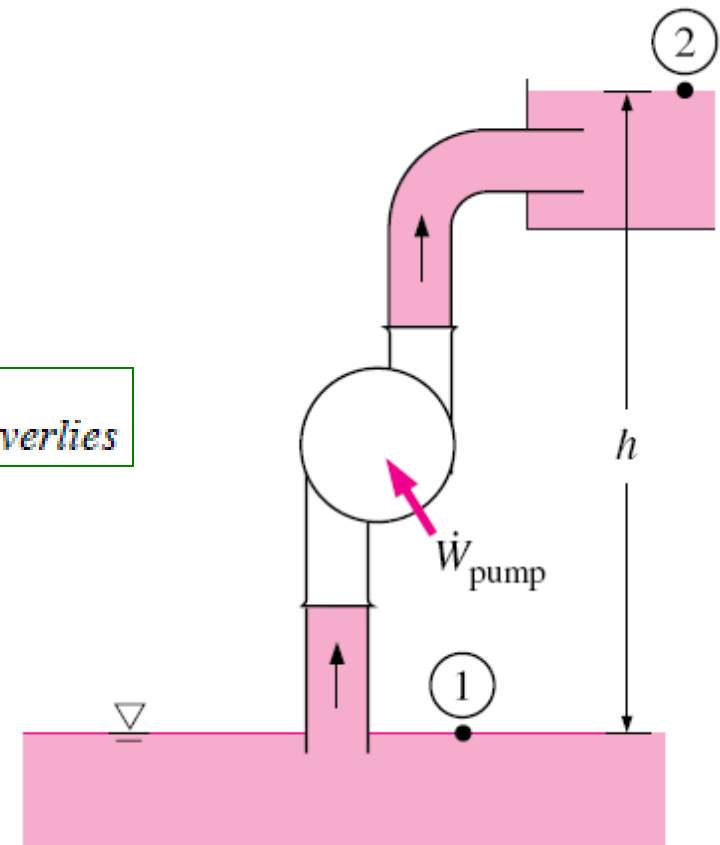
$$\Delta E_{mech, systeem} = E_{mech, in} - E_{mech, out} - E_{mech, verlies}$$

$E_{mech, verlies}$: de omzetting van mechanische energie in thermische energie wegens onomkeerbaarheden zoals wrijving.

Stationaire werking:

$$\dot{E}_{mech, in} = \dot{E}_{mech, out} + \dot{E}_{mech, verlies}$$

In vele stromingsproblemen heeft men enkel te maken met mechanische energievormen. Zulke problemen kunnen opgelost worden door gebruik te maken van de mechanische energiebalans



Steady flow

$$V_1 = V_2 \approx 0$$

$$z_2 = z_1 + h$$

$$P_1 = P_2 = P_{atm}$$

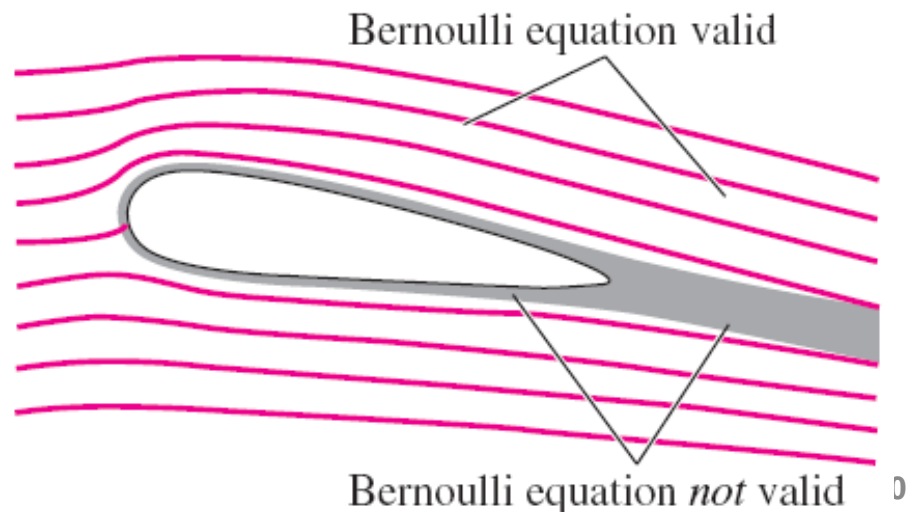
$$\dot{E}_{mech, in} = \dot{E}_{mech, out} + \dot{E}_{mech, loss}$$

$$\dot{W}_{pump} + \dot{m}gz_1 = \dot{m}gz_2 + \dot{E}_{mech, loss}$$

$$\dot{W}_{pump} = \dot{m}gh + \dot{E}_{mech, loss}$$

2. De Bernoullivergelijking

- De Bernoullivergelijking is een benaderend verband tussen druk, snelheid en verhoging
- Deze vergelijking is geldig in gebieden waar de stroming **stationair** en **onsamendrukbaar** is én waar de netto **wrijvingskrachten te verwaarlozen** zijn



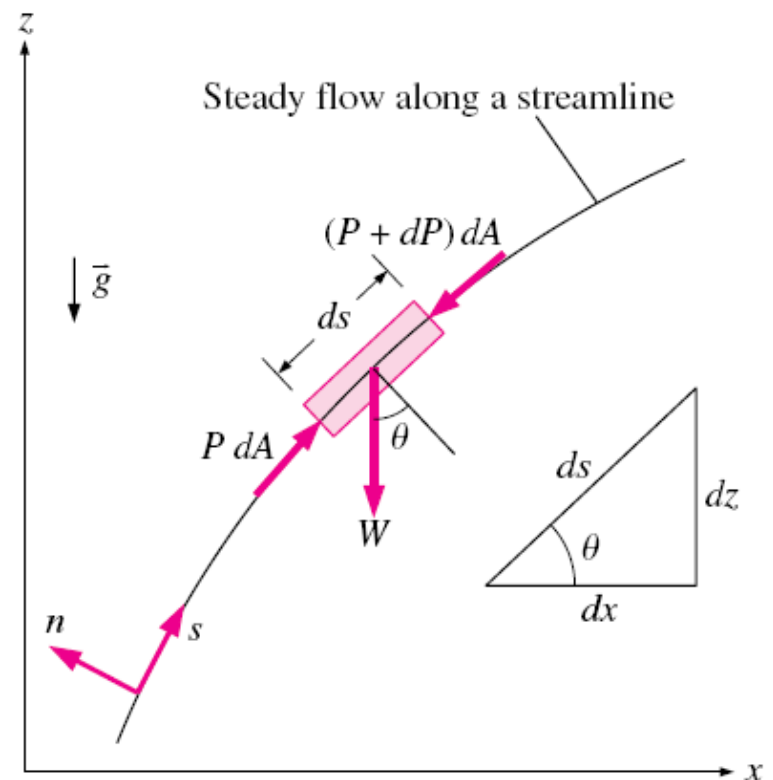
- Versnelling van een fluïdumdeeltje: $V=V(s,t)$

$$dV = \frac{\partial V}{\partial s} ds + \frac{\partial V}{\partial t} dt \quad \text{en} \quad \frac{dV}{dt} = \frac{\partial V}{\partial s} \frac{ds}{dt} + \frac{\partial V}{\partial t}$$

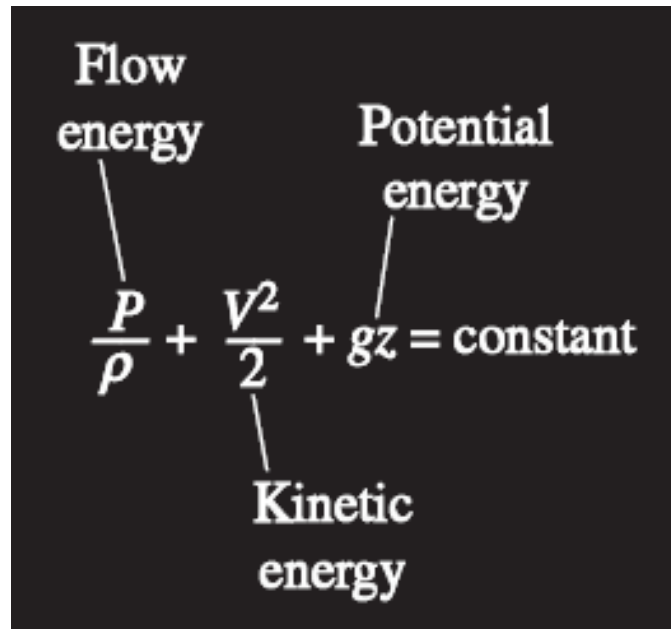
Stationair: $\partial V / \partial t = 0$ en $V = V(s)$

$$a_s = \frac{dV}{dt} = \frac{\partial V}{\partial s} \frac{ds}{dt} = \frac{\partial V}{\partial s} V = V \frac{dV}{ds}$$

- Krachtenbalans langs de stroomlijn: $\sum F_s = ma_s$



- **Bernoullivergelijking**



The diagram shows the Bernoulli equation $\frac{P}{\rho} + \frac{v^2}{2} + gz = \text{constant}$ on a dark background. Three labels with lines pointing to the terms are: 'Flow energy' pointing to $\frac{P}{\rho}$, 'Potential energy' pointing to gz , and 'Kinetic energy' pointing to $\frac{v^2}{2}$.

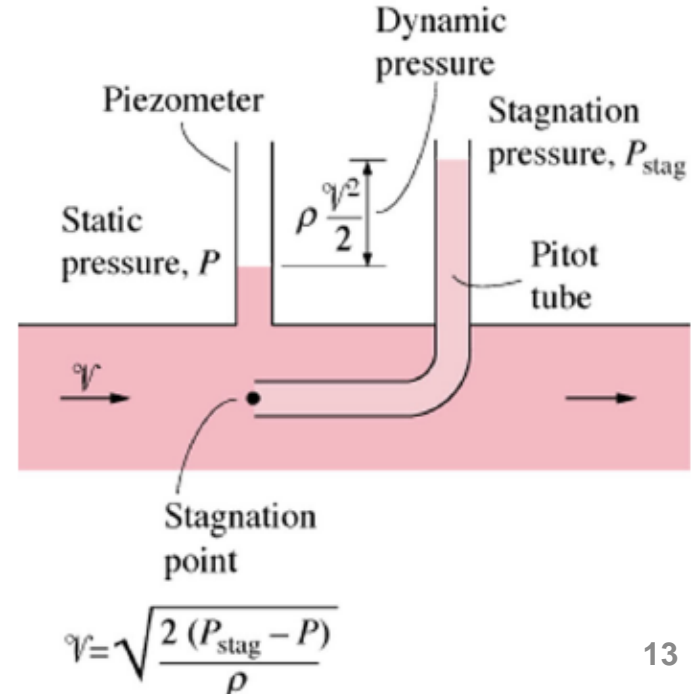
$$\frac{P}{\rho} + \frac{v^2}{2} + gz = \text{constant}$$

De som van de kinetische, potentiële en stromingsenergie v/e vloeistofdeeltje is constant langs een stroomlijn gedurende stationaire stroming als samendrukbaarheids- en wrijvingseffecten verwaarloosbaar zijn

- **Statische druk:** actuele druk
- **Dynamische druk:** drukverhoging als bewegend fluïdum tot stilstand gebracht wordt
- **Hydrostatische druk:** is geen druk in de werkelijke betekenis want zijn waarde hangt af van het gekozen referentieniveau; stelt fluïdumgewicht op de druk voor

$$\underbrace{\underbrace{p}_{\text{statische_druk}} + \underbrace{\rho \frac{V^2}{2}}_{\text{dynamische_druk}}}_{\text{totale_druk}} + \rho g z = cte$$

(Note: The diagram also labels the sum of static and dynamic pressure as *stagnatie_druk*)

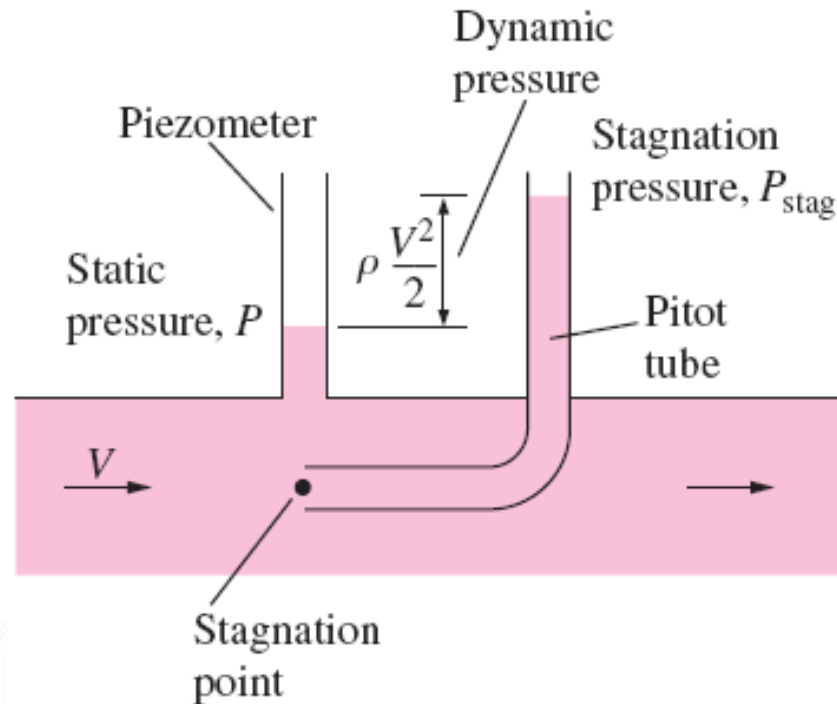


- Som van statische en dynamische druk is **stagnatie druk**

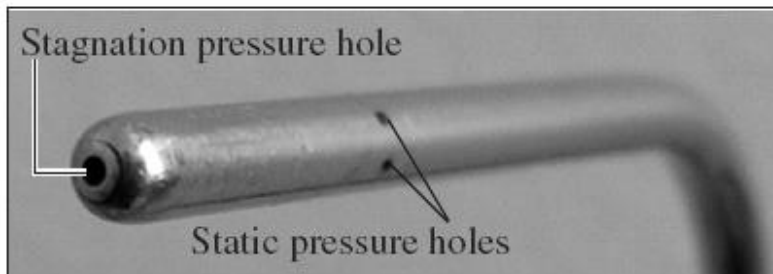
$$P_{\text{stag}} = P + \rho \frac{V^2}{2} \quad (\text{kPa})$$

$$V = \sqrt{\frac{2(P_{\text{stag}} - P)}{\rho}}$$

- Toepassing:**
Pitot-buis

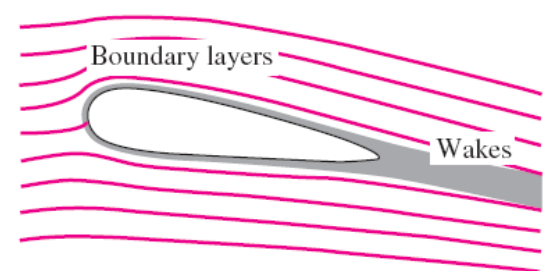
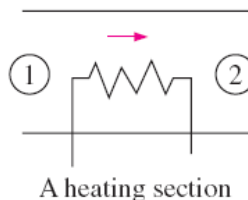
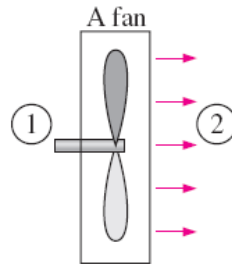
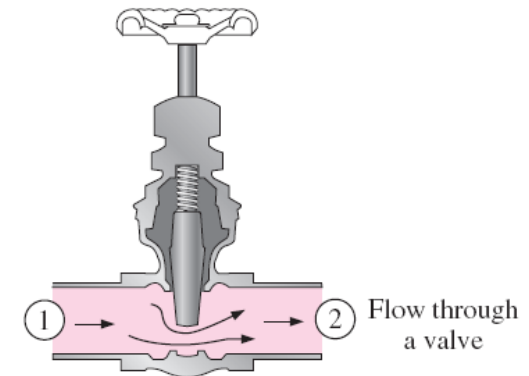
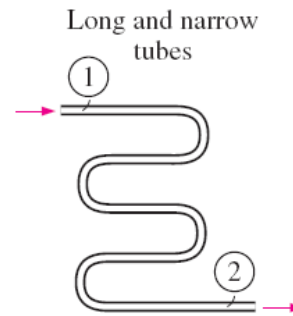
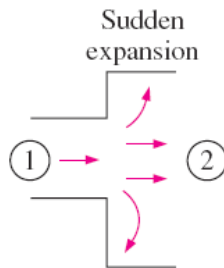


$$V = \sqrt{\frac{2(P_{\text{stag}} - P)}{\rho}}$$



• Gebruikslimitaties

1. Stationaire stroming: $dV/dt = 0$
2. Wrijvingsloze stroming
3. Geen asarbeid: $w_{\text{pomp}} = w_{\text{turbine}} = 0$
4. Onsamendrukbare stroming: $\rho = \text{constant}$
5. Geen warmteoverdracht: $q_{\text{net,in}} = 0$; $p = p(T)$
6. Toegepast langs een stroomlijn (uitz. irrotationele stroming)



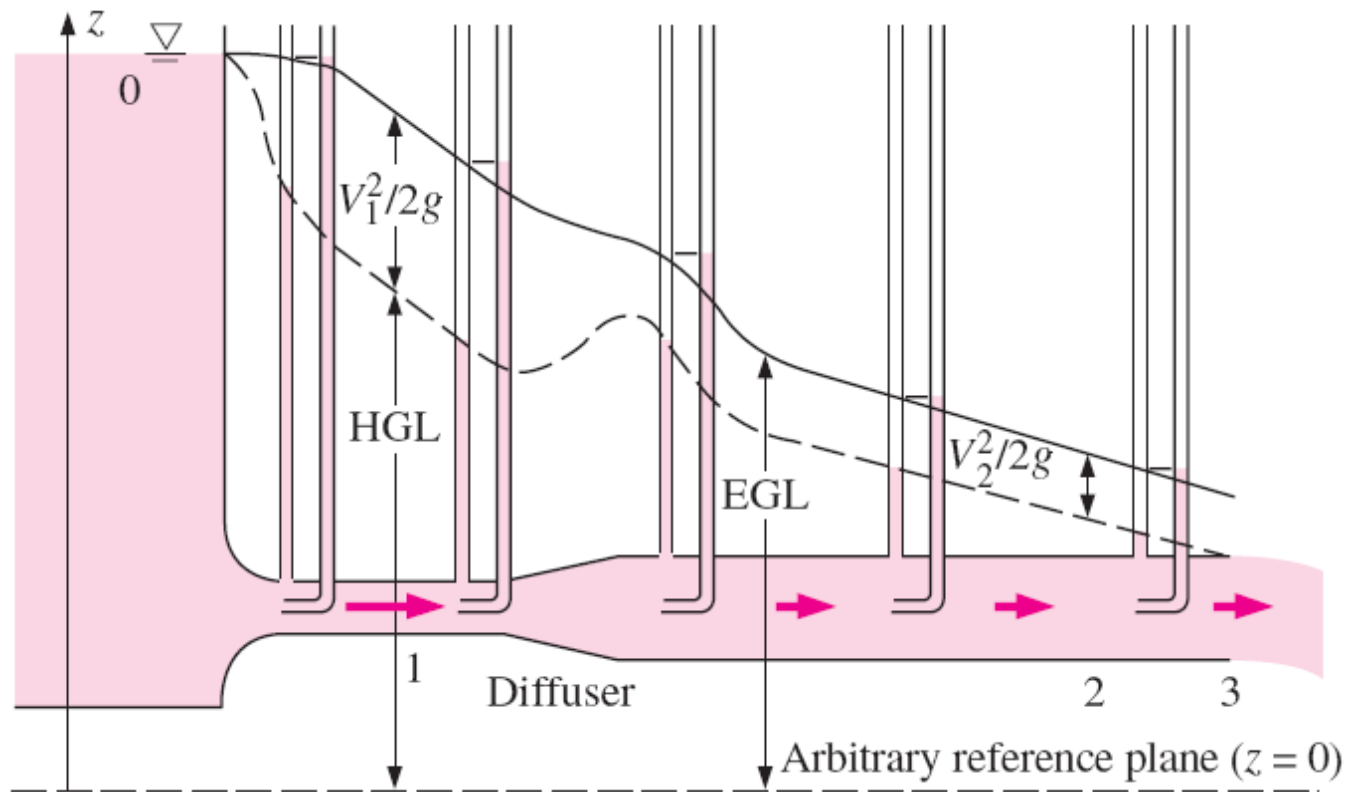
$$\frac{P}{\rho g} + \frac{V^2}{2g} + z = H = \text{constant}$$

- **Drukhoogte**: hoogte van een vloeistofkolom die statische druk P levert
- **Snelheidshoogte**: verhoging nodig voor een vloeistof om een snelheid te bereiken in een wrijvingsloze vrije val
- **Elevatiehoogte**: potentiële energie van de vloeistof

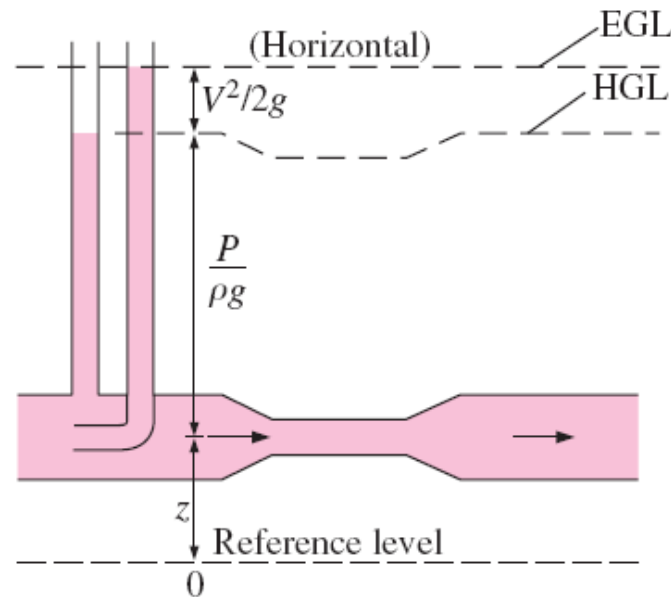
- Grafisch voorstellen v/d mechanische energie dmv **hoogten**
- **Hydraulische graadlijn** (HGL)
- **Energiegraadlijn** (EGL)

$$HGL = \frac{P}{\rho g} + z$$

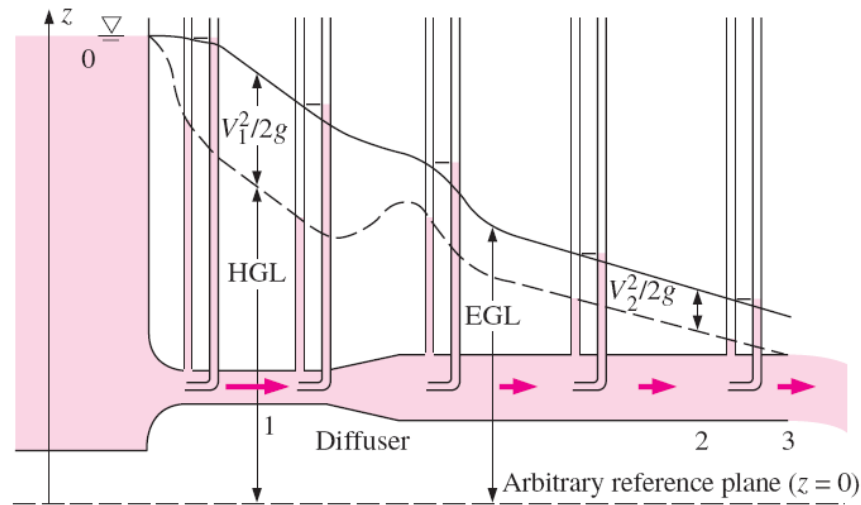
$$EGL = \frac{P}{\rho g} + \frac{V^2}{2g} + z$$



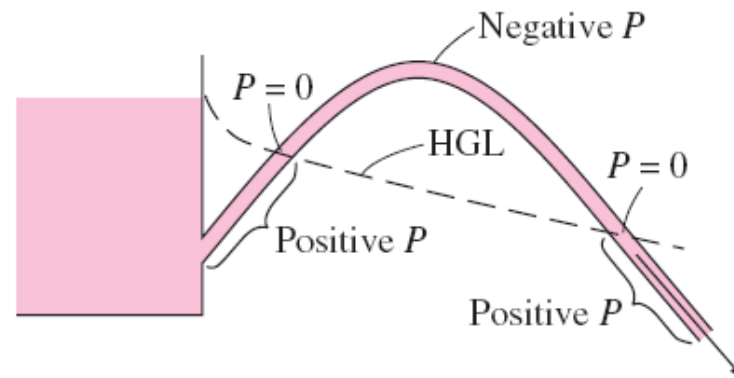
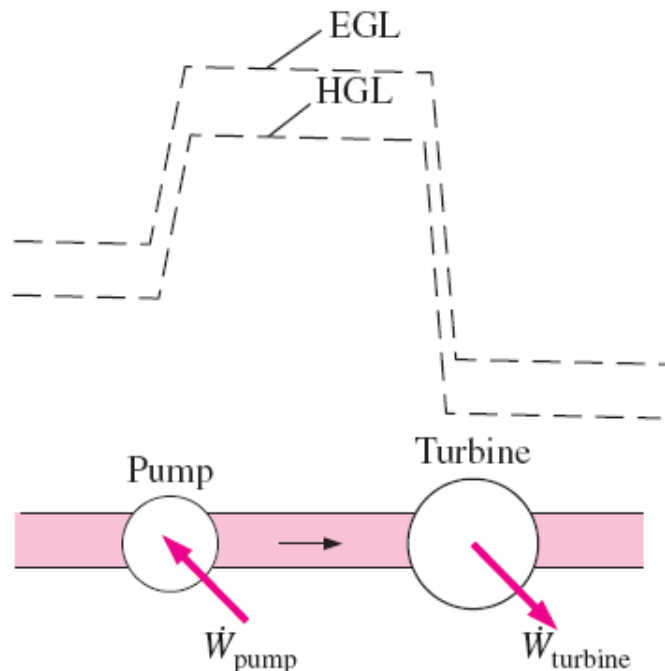
- De EGL is steeds een afstand $V^2/2g$ boven de HGL. Deze 2 lijnen komen dichterbij elkaar als de snelheid afneemt.
- In een **ideale** Bernoulli-type-stroming is de EGL horizontaal en de hoogte blijft constant (geen wrijvingsverliezen). Idem voor HGL als stromingssnelheid constant blijft.



- Voor stroming in een open kanaal: HGL valt samen met vrije vloeistofoppervlakte. EGL ligt afstand $V^2/2g$ hierboven.
- Aan de uitlaat v/e buis is drukhoogte = 0 (P_{atm}); HGL valt samen met buisuitlaat.
- Verlies van mechanische energie door wrijving zorgt voor daling EGL en HGL in stromingsrichting.



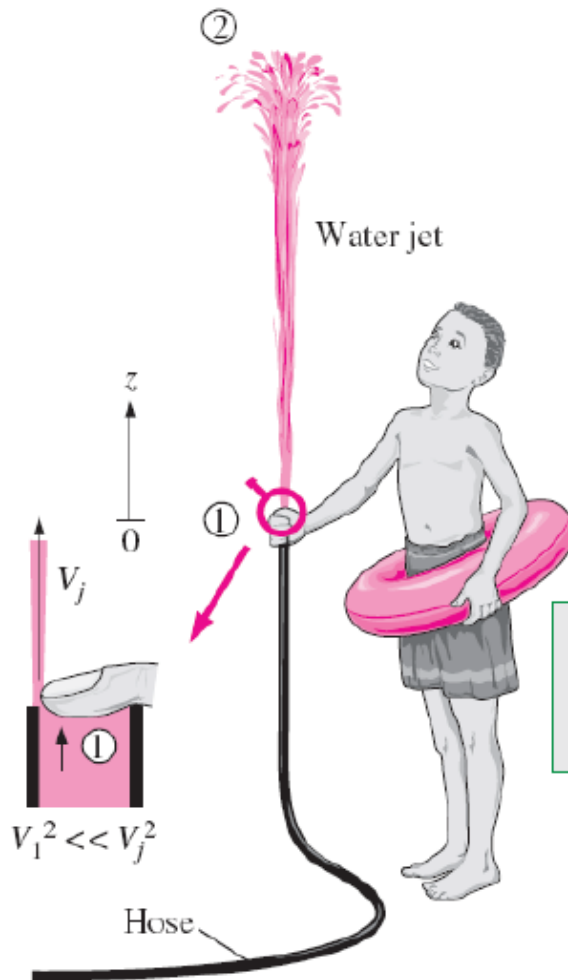
- Sterke **verhoging** in EGL en HGL als E_{mech} **geleverd** wordt (vb. pomp). **Daling** als E_{mech} **onttrokken** wordt (vb. turbine)
- (Over)druk v/e vloeistof is 0 waar HGL de vloeistof kruist. Druk in sectie boven HGL is negatief.



3. Toepassingen van de Bernoullivergelijking

- Vb. 12-2: Water in de lucht sproeien
- Vb. 12-3: Waterafvoer uit een reservoir
- Vb. 12-4: Snelheidsmeting in een Pitot-buis

- Vb. 12-2: Water in de lucht sproeien

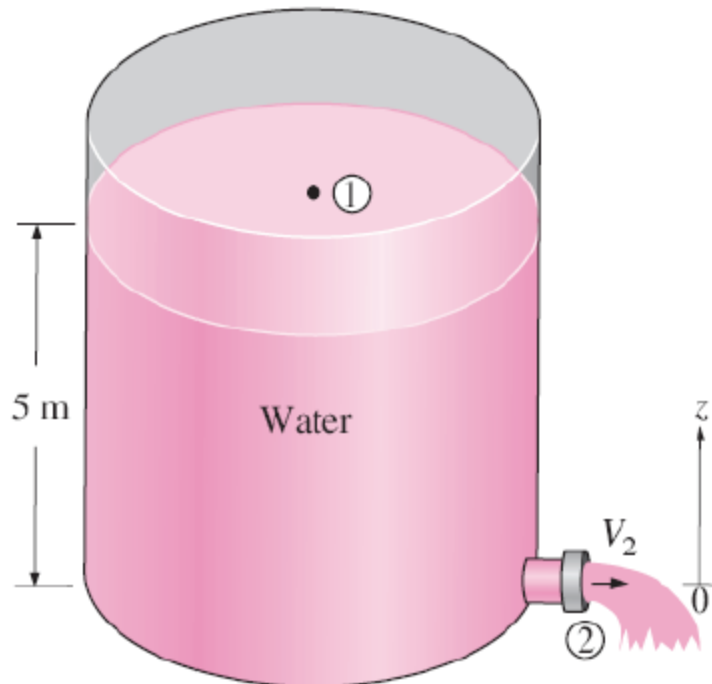


Bepaal de maximale hoogte die de waterstraal bereikt.

$$\frac{P_1}{\rho g} + \frac{V_1^2}{2g} \overset{\approx 0}{\rightarrow} + z_1 \overset{0}{\rightarrow} = \frac{P_2}{\rho g} + \frac{V_2^2}{2g} \overset{0}{\rightarrow} + z_2 \rightarrow \frac{P_1}{\rho g} = \frac{P_{atm}}{\rho g} + z_2$$

$$\rightarrow z_2 = \frac{P_1 - P_{atm}}{\rho g} = \frac{P_{1,over}}{\rho g}$$

- Vb. 12-3: Waterafvoer uit een reservoir

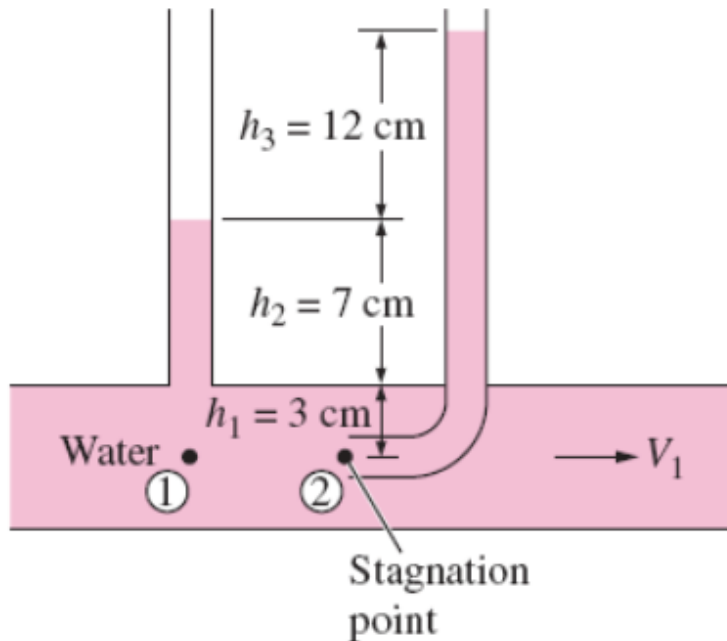


Bepaal de maximale watersnelheid aan de uitlaat.

$$\frac{\cancel{P_1}}{\cancel{\rho}g} + \frac{V_1^2}{2g} + \overset{\approx 0}{z_1} = \frac{\cancel{P_2}}{\cancel{\rho}g} + \frac{V_2^2}{2g} + \overset{0}{z_2} \rightarrow z_1 = \frac{V_2^2}{2g} \longrightarrow V_2 = \sqrt{2gz}$$

Vergelijking van Toricelli

- Vb. 12-4: Snelheidsmeting in een Pitot-buis



Bepaal de snelheid in het centrum van de buis.

$$P_1 = \rho g(h_1 + h_2)$$

$$P_2 = \rho g(h_1 + h_2 + h_3)$$

$$\frac{P_1}{\rho g} + \frac{V_1^2}{2g} + \cancel{z_1} = \frac{P_2}{\rho g} + \frac{V_2^2}{2g} + \cancel{z_2} \quad \rightarrow \quad \frac{V_1^2}{2g} = \frac{P_2 - P_1}{\rho g} \quad \rightarrow \quad V_1 = \sqrt{2gh_3}$$

4. De algemene energievergelijking

- Behoud van energie (1^e wet thermodynamica)

Energie kan niet gecreëerd of vernietigd worden gedurende een proces; het kan enkel van vorm veranderen.

$$E_{\text{in}} - E_{\text{out}} = \Delta E \quad \dot{Q}_{\text{net in}} + \dot{W}_{\text{net in}} = \frac{dE_{\text{sys}}}{dt}$$

$$\dot{Q}_{\text{net in}} = \dot{Q}_{\text{in}} - \dot{Q}_{\text{out}}$$

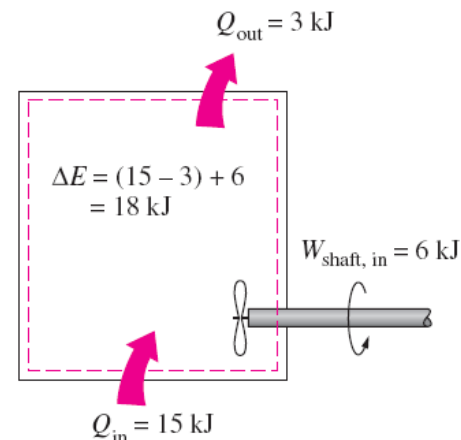
Netto-warmtedebiet (- = afgestaan)

$$\dot{W}_{\text{net in}} = \dot{W}_{\text{in}} - \dot{W}_{\text{out}}$$

Netto vermogensinput (- = output)

Totale specifieke energie:

$$e = u + ke + pe = u + \frac{V^2}{2} + gz$$



Energieoverdracht door warmte, Q

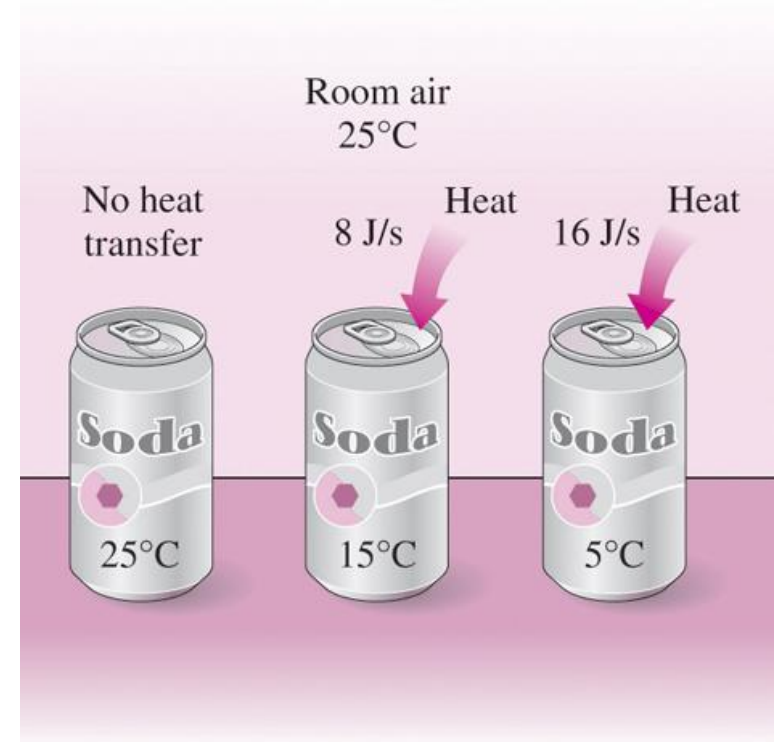
Thermische energie:

Voelbare en latente vormen van interne energie

Warmte transfer:

Energietransfer van 1 systeem naar ander door temperatuursverschil

Adiabatisch proces: Proces zonder warmte transfer



- Energieoverdracht door arbeid, W

$$W_{totaal} = W_{as} + W_{druk} + W_{viskeus} + W_{ander}$$

W_{as} = de arbeid overgedragen door een roterende as

W_{druk} = de arbeid uitgeoefend door drukkrachten op het controleoppervlak

$W_{viskeus}$ = de arbeid door de normale en tangentiële componenten van viskeuze krachten op het controleoppervlak (bewegende wanden zijn meestal in het controlevolume aanwezig)

W_{ander} = de arbeid door andere krachten zoals de elektrische kracht, de magnetische kracht en de oppervlaktespanning (te verwaarlozen)

→ $W_{totaal} = W_{as} + W_{druk}$

Asarbeid, W_{as}

Kracht F inwerkend via
een momentarm r geeft
een torsie T

$$T = Fr \rightarrow F = \frac{T}{r}$$

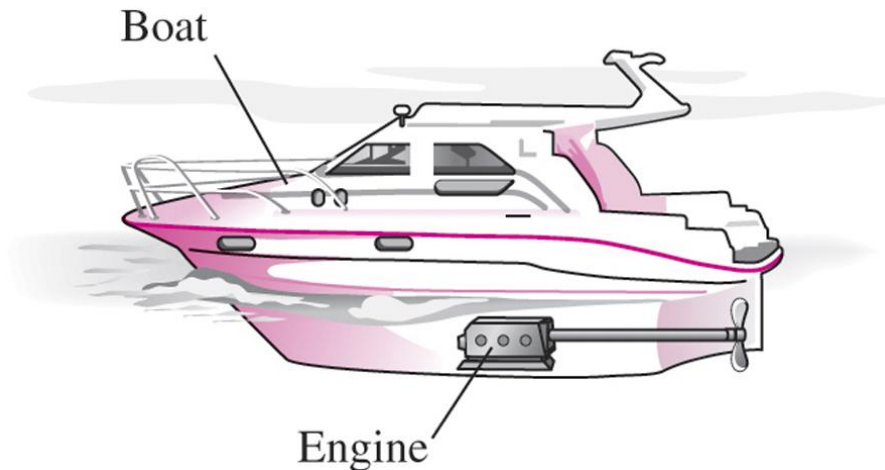
Die kracht werkt op een afstand s $s = (2\pi r)n$

Asarbeid of Shaft work

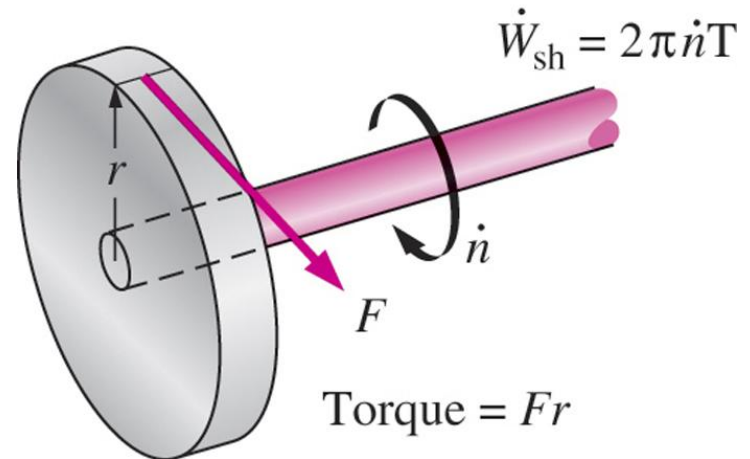
$$W_{sh} = FS = \left(\frac{T}{r}\right)(2\pi rn) = 2\pi nT \quad (\text{kJ})$$

Het overgedragen vermogen door de
as, is de asarbeid per tijdseenheid

$$\dot{W}_{sh} = 2\pi nT \quad (\text{kW})$$

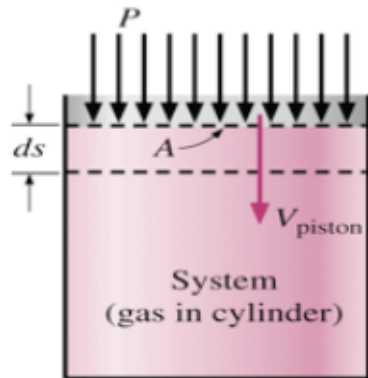


Energie-overdracht door roterende assen
komt veel voor in de praktijk



Asarbeid is evenredig met de
aangelegde torsie en het
toerental

Drukarbeid, W_{druk}



(a)

Grensarbeid op systeem: $\delta W_{\text{grens}} = PA \, ds$

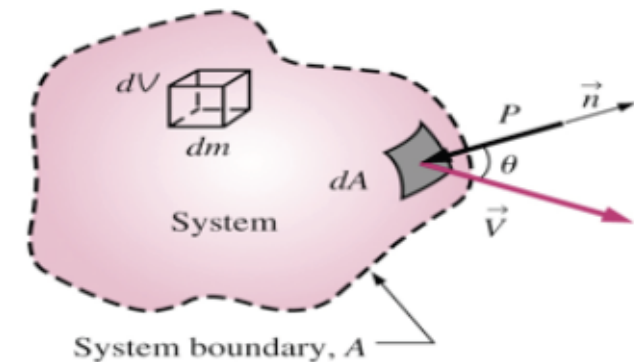
Vermogen overgedragen: $\delta \dot{W}_{\text{druk}} = \delta \dot{W}_{\text{grens}} = PA V_{\text{piston}}$

Deel van het fluïdum met willekeurige vorm:

$$\delta \dot{W}_{\text{druk}} = -PdAV_n = -PdA(\vec{V} \cdot \vec{n})$$

$$\dot{W}_{\text{druk, net in}} = -\int_A P(\vec{V} \cdot \vec{n})dA = -\int_A \frac{P}{\rho} \rho(\vec{V} \cdot \vec{n})dA$$

(arbeid verricht door drukkrachten op het systeem is positief)



(b)

Netto-vermogen overgedragen:

$$\dot{W}_{\text{net in}} = \dot{W}_{\text{as, net in}} + \dot{W}_{\text{druk, net in}} = \dot{W}_{\text{as, net in}} - \int_A P(\vec{V} \cdot \vec{n})dA$$

$$\dot{Q}_{\text{net in}} + \dot{W}_{\text{as, net in}} + \dot{W}_{\text{druk, net in}} = \frac{dE_{\text{sys}}}{dt}$$

- Behoud van energie voor een controlevolume

$$\frac{dB_{\text{sys}}}{dt} = \frac{d}{dt} \int_{\text{CV}} b\rho \, dV + \int_{\text{CS}} b\rho(\vec{V}_r \cdot \vec{n}) \, dA$$

$B = E$
 $b = e$
 $b = e$

$$\frac{dE_{\text{sys}}}{dt} = \frac{d}{dt} \int_{\text{CV}} e\rho \, dV + \int_{\text{CS}} e\rho(\vec{V}_r \cdot \vec{n}) \, dA$$

De vergelijking voor behoud van energie wordt bekomen door B in het Reynolds transporttheorema te vervangen door energie E en b door de specifieke energie e.

$$\dot{Q}_{\text{net in}} + \dot{W}_{\text{as, net in}} + \dot{W}_{\text{druk, net in}} = \frac{dE_{\text{sys}}}{dt}$$

$$\dot{Q}_{\text{net in}} + \dot{W}_{\text{as, net in}} + \dot{W}_{\text{druk, net in}} = \frac{d}{dt} \int_{\text{CV}} e\rho \, dV + \int_{\text{CS}} e\rho(\vec{V}_r \cdot \vec{n}) \, dA$$

$$\dot{Q}_{\text{net in}} + \dot{W}_{\text{as, net in}} = \frac{d}{dt} \int_{\text{CV}} e\rho \, dV + \int_{\text{CS}} \left(\frac{P}{\rho} + e \right) \rho(\vec{V}_r \cdot \vec{n}) \, dA$$

- Behoud van energie voor controlevolume

Als $P/\rho + e$ bijna uniform is over de in- of uitlaat en $\dot{m} = \int_{A_c} \rho(\vec{V} \cdot \vec{n}) dA_c$

$$\dot{Q}_{net \text{ in}} + \dot{W}_{as, net \text{ in}} = \frac{d}{dt} \int_{CV} e \rho dV + \sum_{out} \dot{m} \left(\frac{P}{\rho} + e \right) - \sum_{in} \dot{m} \left(\frac{P}{\rho} + e \right)$$

$$\dot{Q}_{net \text{ in}} + \dot{W}_{as, net \text{ in}} = \frac{d}{dt} \int_{CV} e \rho dV + \sum_{uit} \dot{m} \left(\frac{P}{\rho} + u + \frac{V^2}{2} + gz \right) - \sum_{in} \dot{m} \left(\frac{P}{\rho} + u + \frac{V^2}{2} + gz \right)$$

Definitie van de enthalpie $h = u + Pv = u + P/\rho$.

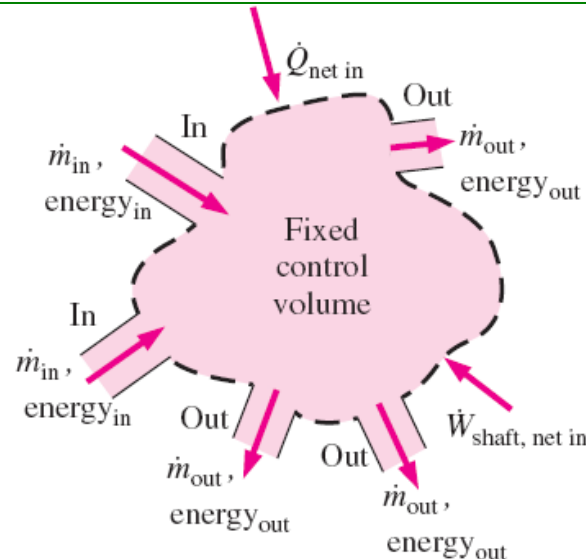
$$\dot{Q}_{net \text{ in}} + \dot{W}_{as, net \text{ in}} = \frac{d}{dt} \int_{CV} e \rho dV + \sum_{uit} \dot{m} \left(h + \frac{V^2}{2} + gz \right) - \sum_{in} \dot{m} \left(h + \frac{V^2}{2} + gz \right)$$

5. Energieanalyse van stationaire stromingssystemen

- Energievergelijking voor **stationaire** stroming

De netto-energieoverdracht per tijdseenheid aan het systeem door warmte en arbeid gedurende stationaire stroming is gelijk aan het verschil tussen de uitgaande en binnenkomende energiestromen met de massa.

$$\dot{Q}_{\text{net in}} + \dot{W}_{\text{shaft, net in}} = \sum_{\text{out}} \dot{m} \left(h + \frac{V^2}{2} + gz \right) - \sum_{\text{in}} \dot{m} \left(h + \frac{V^2}{2} + gz \right)$$



- Systemen met 1 inlaat en 1 uitlaat is het massadebiet constant:

$$\dot{Q}_{\text{net in}} + \dot{W}_{\text{shaft, net in}} = \dot{m} \left(h_2 - h_1 + \frac{V_2^2 - V_1^2}{2} + g(z_2 - z_1) \right)$$

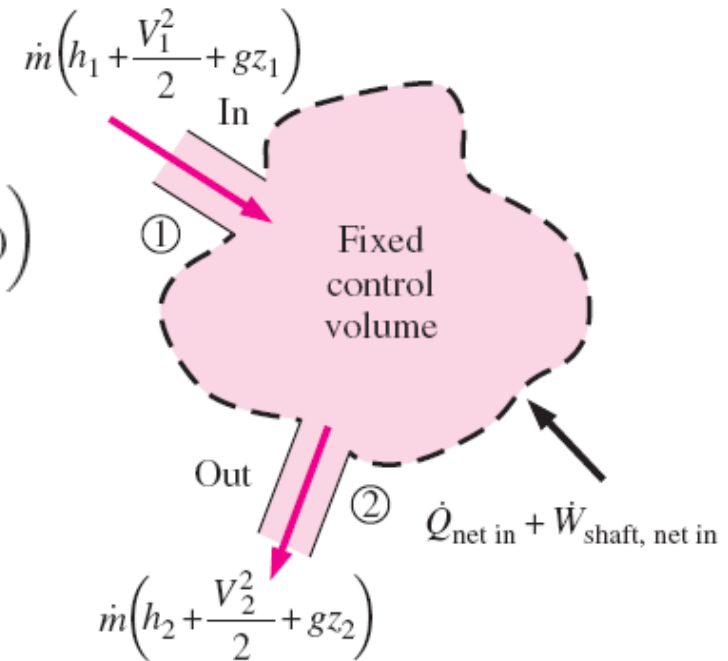
$$q_{\text{net in}} + w_{\text{shaft, net in}} = h_2 - h_1 + \frac{V_2^2 - V_1^2}{2} + g(z_2 - z_1)$$

$$w_{\text{shaft, net in}} + \frac{P_1}{\rho_1} + \frac{V_1^2}{2} + gz_1 = \frac{P_2}{\rho_2} + \frac{V_2^2}{2} + gz_2 + (u_2 - u_1 - q_{\text{net in}})$$

$$e_{\text{mech, loss}} = u_2 - u_1 - q_{\text{net in}}$$

$$w_{\text{shaft, net in}} = w_{\text{pump}} - w_{\text{turbine}}$$

$$\boxed{\frac{P_1}{\rho_1} + \frac{V_1^2}{2} + gz_1 + w_{\text{pump}} = \frac{P_2}{\rho_2} + \frac{V_2^2}{2} + gz_2 + w_{\text{turbine}} + e_{\text{mech, loss}}}$$



Mechanische energiebalans: $e_{\text{mech, in}} = e_{\text{mech, out}} + e_{\text{mech, loss}}$

- Vermenigvuldigen met het massadebiet:

$$\dot{m} \left(\frac{P_1}{\rho} + \frac{v_1^2}{2} g z_1 \right) + \dot{W}_{pomp} = \dot{m} \left(\frac{P_2}{\rho} + \frac{v_2^2}{2} g z_2 \right) + \dot{W}_{turbine} + \dot{E}_{mech,verlies}$$

$$\dot{E}_{mech,verlies} = \dot{E}_{mech,verlies,pomp} + \dot{E}_{mech,verlies,turbine} + \dot{E}_{mech,verlies,pomp}$$

- Uitgedrukt in **hoogte**:

$$\frac{P_1}{\rho_1 g} + \frac{V_1^2}{2g} + z_1 + h_{\text{pump}, u} = \frac{P_2}{\rho_2 g} + \frac{V_2^2}{2g} + z_2 + h_{\text{turbine}, e} + h_L$$

Nuttige hoogte geleverd aan het fluïdum door de pomp:

$$h_{\text{pomp}, u} = \frac{w_{\text{pomp}, u}}{g} = \frac{\dot{W}_{\text{pomp}, u}}{\dot{m}g} = \frac{\eta_{\text{pomp}} \dot{W}_{\text{pomp}}}{\dot{m}g}$$

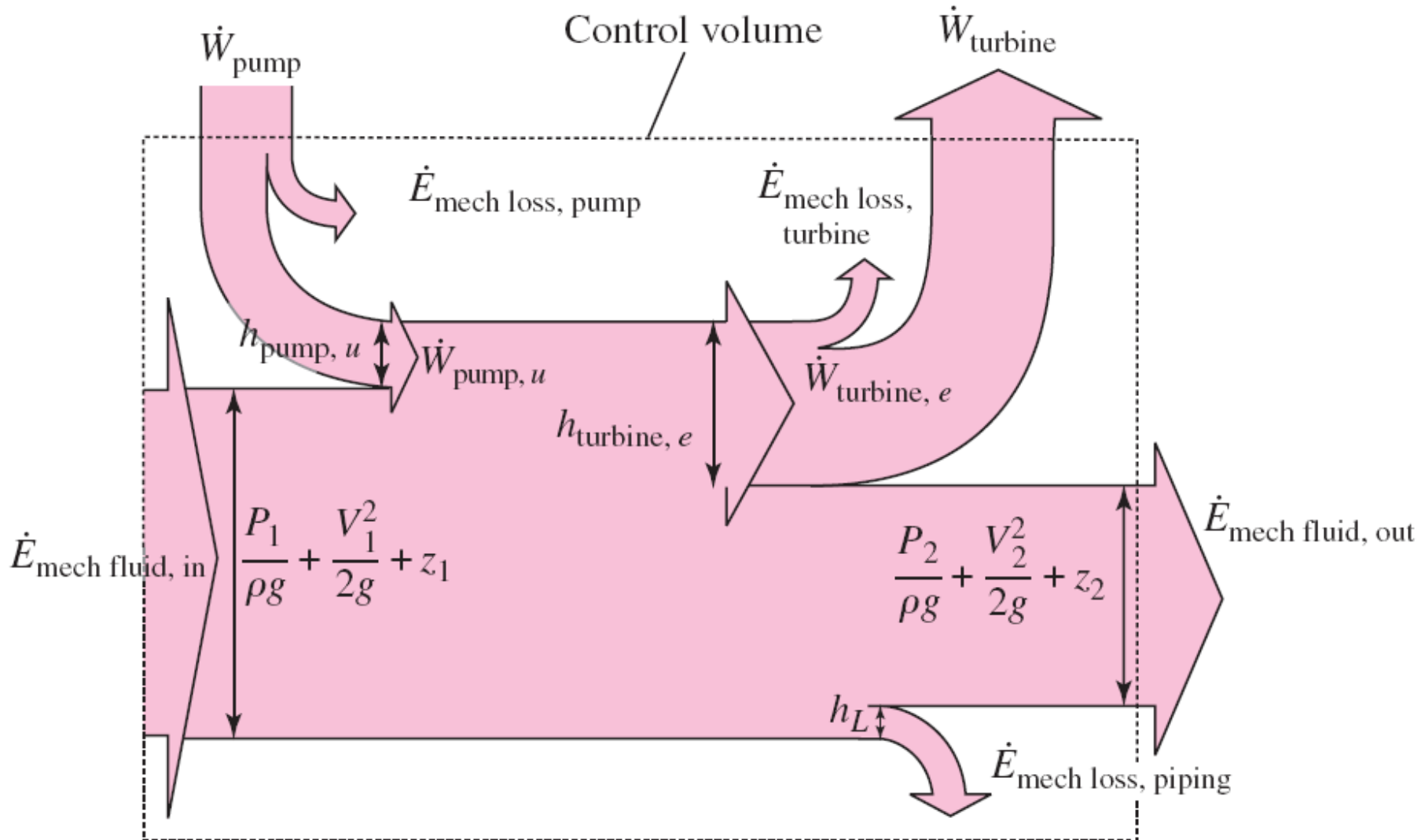
Geëxtraheerde hoogte, verwijderd door de turbine:

$$h_{\text{turbine}, e} = \frac{w_{\text{turbine}, e}}{g} = \frac{\dot{W}_{\text{turbine}, e}}{\dot{m}g} = \frac{\dot{W}_{\text{turbine}}}{\eta_{\text{turbine}} \dot{m}g}$$

Onomkeerbaar hoogteverlies:

$$h_L = \frac{e_{\text{mech verlies, buizen}}}{g} = \frac{\dot{E}_{\text{mech verlies, buizen}}}{\dot{m}g}$$

- Mechanische-energie-stroomschema voor fluïdumstroming waar pomp en turbine actief zijn



- Speciaal geval: Onsamendrukbare stroming zonder mechanische arbeid en verwaarloosbare wrijving

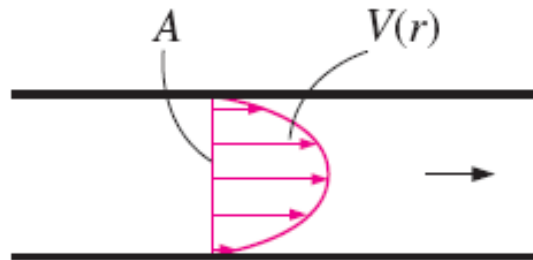
Energy equation:

$$\frac{P_1}{\rho g} + \frac{V_1^2}{2g} + z_1 + h_{\text{pump, u}}^0 = \frac{P_2}{\rho g} + \frac{V_2^2}{2g} + z_2 + h_{\text{turbine, e}}^0 + h_L^0$$

Bernoulli equation:

$$\frac{P_1}{\rho g} + \frac{V_1^2}{2g} + z_1 = \frac{P_2}{\rho g} + \frac{V_2^2}{2g} + z_2$$

- De kinetische energierectiefactor, α



$$\dot{m} = \rho V_{\text{avg}} A, \quad \rho = \text{constant}$$

$$\dot{K}E_{\text{act}} = \int \frac{1}{2} V^2(r) [\rho V(r) dA]$$

$$= \frac{1}{2} \rho \int_A V^3(r) dA$$

$$\dot{K}E_{\text{avg}} = \frac{1}{2} \dot{m} V_{\text{avg}}^2 = \frac{1}{2} \rho A V_{\text{avg}}^3$$

$$\alpha = \frac{\dot{K}E_{\text{act}}}{\dot{K}E_{\text{avg}}} = \frac{1}{A} \int_A \left(\frac{V(r)}{V_{\text{avg}}} \right)^3 dA$$

- Volledig ontwikkelde **laminaire** stroming in ronde buis:

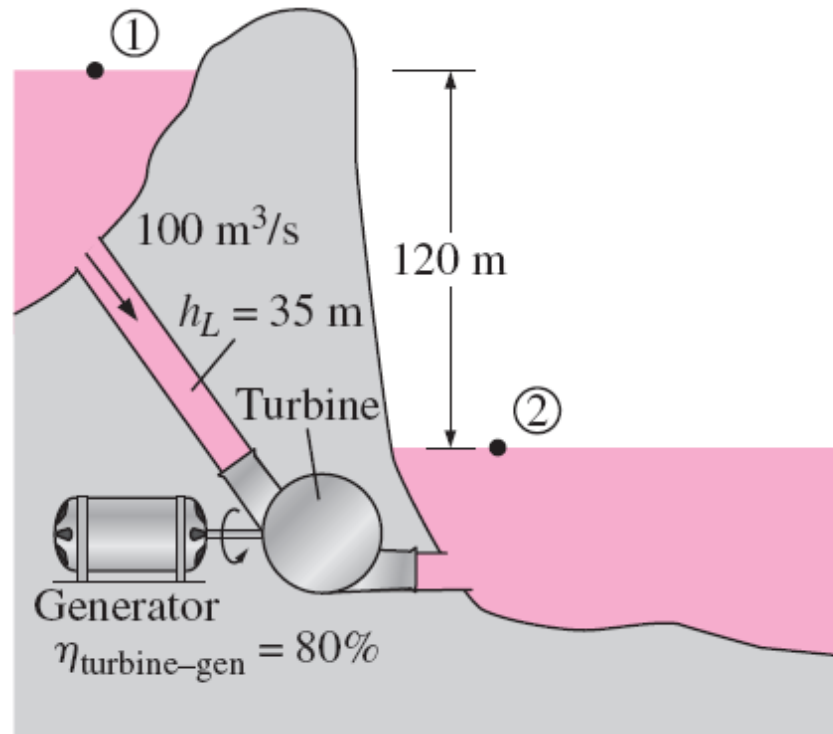
$$\alpha = 2.0$$

- Volledig ontwikkelde **turbulente** stroming in ronde buis:

$$1.04 \leq \alpha \leq 1.11$$

$$\frac{P_1}{\rho g} + \alpha_1 \frac{V_1^2}{2g} + z_1 + h_{\text{pump}, u} = \frac{P_2}{\rho g} + \alpha_2 \frac{V_2^2}{2g} + z_2 + h_{\text{turbine}, e} + h_L$$

- Vb. 12-7: Generatie hydro-elektrisch vermogen van een dam



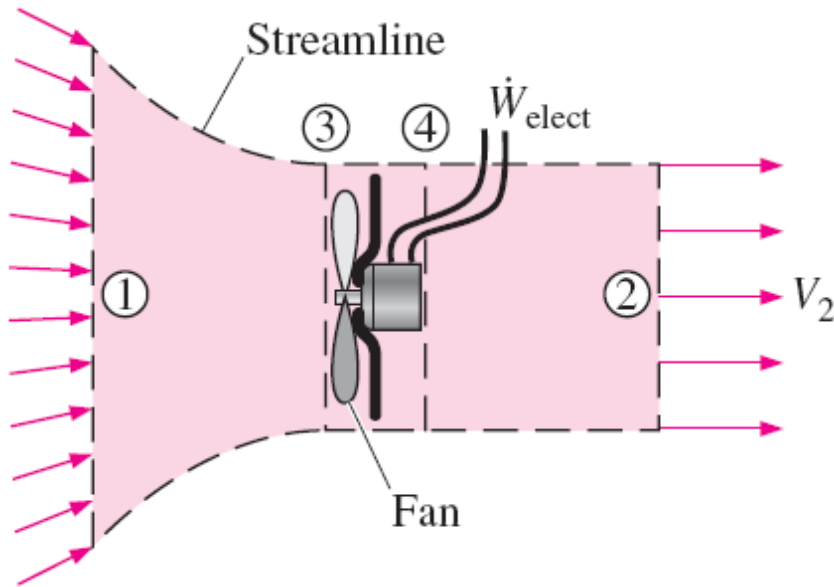
$$\cancel{\frac{P_1}{\rho g}} + \alpha_1 \cancel{\frac{V_1^2}{2g}} + z_1 + \cancel{h_{\text{pump},u}} = \cancel{\frac{P_2}{\rho g}} + \alpha_2 \cancel{\frac{V_2^2}{2g}} + z_2 + h_{\text{turbine},e} + h_L$$

$$h_{\text{turbine},e} = z_1 - h_L$$

$$\dot{W}_{\text{turbine},e} = \dot{m}gh_{\text{turbine},e}$$

$$\dot{W}_{\text{electric}} = \eta_{\text{turbine-gen}} \dot{W}_{\text{turbine},e}$$

- Vb. 12-8: Selectie ventilator voor koeling computer



Energievgl. tussen 3 en 4

$$\dot{m} \frac{P_3}{\rho} + \dot{W}_{\text{fan}} = \dot{m} \frac{P_4}{\rho} + \dot{E}_{\text{mech loss, fan}}$$

$$\dot{W}_{\text{fan, u}} = \dot{m} \frac{P_4 - P_3}{\rho}$$

Energievgl. tussen 1 en 2

$$\dot{m} \left(\cancel{\frac{P_1}{\rho}} + \alpha_1 \frac{V_1^2}{2} + \cancel{gz_1} \right) + \dot{W}_{\text{fan}} = \dot{m} \left(\cancel{\frac{P_2}{\rho}} + \alpha_2 \frac{V_2^2}{2} + \cancel{gz_2} \right) + \dot{W}_{\text{turbine}} + \dot{E}_{\text{mech loss, fan}}$$

$$\dot{W}_{\text{fan}} - \dot{E}_{\text{mech loss, fan}} = \dot{W}_{\text{fan, u}}$$

$$\dot{W}_{\text{fan, u}} = \dot{m} \alpha_2 \frac{V_2^2}{2}$$

$$\dot{W}_{\text{elect}} = \frac{\dot{W}_{\text{fan, u}}}{\eta_{\text{fan-motor}}}$$